



## بهینه‌سازی ضخامت پوشش فلزی و بتُنی شفت پنستاک انتقال آب سد سردشت به روش تحلیلی و عددی

مسن بفشنده امنیه<sup>۱</sup>، مکیمه پیرمودیان<sup>۲\*</sup>، سعید طایی سمدرومی<sup>۳</sup>، مرتضی همیمی دیزمی<sup>۴</sup>  
و محمد رضا توکلی<sup>۵</sup>

(۱) گروه مهندسی معدن، دانشگاه کاشان، Bakhshandeh@kashanu.ac.ir

(۲) گروه مهندسی معدن، گرایش استخراج، دانشگاه کاشان، hakimepirmoradian@yahoo.com

(۳) گروه مهندسی معدن، گرایش استخراج، واحد فنی حفاری شرکت مهندسی سپاسد، Saeedtaei2005@gmail.com

(۴) گروه مهندسی معدن، گرایش مکانیک سنگ، دانشگاه صنعتی امیرکبیر، کارشناس شرکت مهندسی سپاسد، M.rahimi@aut.ac.ir

(۵) گروه مکانیک سنگ، موسسه مهندسین مشاور ساحل، Hamun57@gmail.com

(\*) عهده دار مکاتبات

دریافت: ۹۴/۷/۱۵؛ دریافت اصلاح شده: ۹۴/۶/۳۰؛ پذیرش: ۹۴/۷/۱۸؛ قابل دسترس در تارنما:

### چکیده

شافت‌ها از جمله سازه‌های زیرزمینی هستند که جهت نگهداری و پایداری آنها نیاز به پوشش‌های اولیه مثل حلقه‌های فولادی، پیچ سنگ، شاتکریت و پوشش‌های دائمی است. در نیروگاه‌های برق‌آبی از شفت‌های تحت فشار به منظور انتقال آب و ایجاد ارتفاع فشاری مورد نیاز، جهت راه‌اندازی توربین‌ها استفاده می‌شود. در این سازه‌ها به جهت ایجاد خصوصیات هیدرولیکی مطلوب و ایجاد سیستم نگهداری دائمی از پوشش بتینیو در صورت لزوم از پوشش فلزی استفاده می‌شود. طراحی سیستم نگهداری، شامل تعیین ضخامت پوشش می‌باشد که با انتخاب ضخامت بهینه می‌توان هزینه‌های نگهداری، زمان حفاری و پروژه را کاهش داد. در این مقاله ابتدا نسبت تنش افقی به قائم زمین اطراف شفت با توجه به روشهای ثقلی، تجربی و مدل شوری برآورد شده است. سپس با اعمال ترخیص تنش مناسب حاصل از روشن تحلیلی و عددی، تحلیل پایداری با استفاده از روشهای تجربی و عددی صورت گرفته است. در ادامه با مقایسه مقادیر جابجایی حاصل از روشن عددی با مقدار جابجایی مجاز حاصل از روشن ساکورایی ضخامت بهینه برای پوشش بتنی و فلزی شفت پنستاک انتقال آب سد سردشت به ترتیب ۱۰۹/۱ سانتیمتر و ۱۲ امیلیمتر برآورد شده است.

### واژه‌های کلیدی: شفت پنستاک، سد سردشت، پوشش بتنی و فلزی، روشن تحلیلی و عددی

نیروگاه‌های برق‌آبی احداث می‌شوند. حفر این مجاری موجب به

سازه‌های تحت فشار، مانند تونل‌ها و شفت‌ها مجاری حفر شده‌ای هم خوردن وضعیت اولیه تنش‌ها در زمین و توزیع تنش جدیدی در سنگ اطراف تونل می‌شود که تمام یا بخش عمده فشار حاصل از این هستند که عموماً آب را تحت فشار منتقل می‌کنند و در ارتباط با

### ۱- مقدمه

udec در زهار در اثر بارگذاری دینامیکی، از نرم افزار المان مجزای UDEC استفاده کرده‌اند (Fan, Jiao & Zhao 2004). ژیائو، فان و زائو، 3DEC به روش آنالیز عددی سه بعدی در نرم افزار المان مجزای 3DEC نحوه انتشار ترک در دیوارهای جانبی فضای زیرزمینی در اثر اعمال بارگذاری دینامیکی را تحلیل و بررسی نموده‌اند (Jiao, Fan, Zhao 2005) &. با استفاده از نرم افزار المان مجزای UDEC، هائو و آزادم فاکتورهای بحرانی شکست در فضاهای زیرزمینی را بررسی کرده‌اند (Hao & Azzam 2005). ژیا، پنگ و گا، به منظور تحلیل عددی یک مغار زیرزمینی حفر شده در توده‌سنگ متورق، از روش تحلیل المان محدود استفاده کرده‌اند (Xia, Peng & Gu 2007).

نتایج تحلیل عددی حفاری فضاهای زیرزمینی به دو روش المان محدود در نرم افزار Phase<sup>2</sup> و المان مرزی در نرم افزار FLAC توسط کای مقایسه شده است (Cai 2008).

جهت نگهداری و پایداری شفت‌ها نیاز به پوشش‌های اولیه مثل حلقه‌های فولادی، پیچ‌سنگ و شاتکریت، پوشش‌های دائمی مانند بتون درجا، پیش‌ساخته و پوشش‌های فلزی است. با انتخاب ضخامت بهینه پوشش بتنی و فلزی می‌توان هزینه‌های نگهداری، زمان حفاری و اجرای پروژه را کاهش داد. برای تخمین فشار در طراحی پوشش شفت بر اساس نظریه ترازاقی (1943)، روابطی توسط تالبور (1957) ارائه شده است (Sinha 1989). بارتون، لین و لوند (1974) سیستم طبقه‌بندی Q را ارائه دادند که با مراجعه به نمودارهای ارائه شده توسط آن‌ها با محاسبه مقدار امتیاز کیفی توده‌سنگ (Q) و پارامتری به عنوان بعد معادل (D<sub>e</sub>)، نوع سیستم نگهداری را می‌توان تعیین کرد (Singh & Geol 1999).

برای طراحی تجربی سیستم نگهداری دائم به دلیل این که محاسبه تحلیلی ضخامت پوشش داخلی شفت‌ها خیلی مشکل است، فرمول‌های تقریبی متعددی در کارهای عملی به کار برده می‌شود. طراحی پوشش بتنی برای شفت‌ها دو هدف کلی نگهداری تجهیزات داخل شفت و نگهداری دیواره‌های حفاری را دنبال می‌کند. بر طبق شرایط زمین، برای نگهداری دیواره شفت، به یک پوشش بتنی با ضخامت حداقل، ۸ اینچ (۲۰۰ میلیمتر)، برای بستن تجهیزات مختلف داخل شفت نیاز است. برای طراحی سیستم نگهداری و پوشش دائمی شفت، ابتدا باید تنش‌های افقی در هر لایه و ضربه تنش فعال قابل استفاده، محاسبه شود (Hartman 1992).

تغییر توزیع تنش توسط توده سنگ تحمل می‌شود (قاسم زاده و عبادی ۱۳۸۸). در صورت کمتر بودن مقاومت سنگ در مقایسه با تنش اعمال شده (مرتبط با میزان روباره و شرایط ژئوتکنیکی)، تغییر شکل‌ها در سنگ افزایش می‌باید که نتیجه آن افزایش همگرایی و تخریب شفت خواهد بود. مهمترین مصالح در تأمین پایداری تونل همان توده سنگ درون گیر تونل می‌باشد. بنابراین لازمه طراحی سیستم مناسب، شناخت کافی از محیط و استفاده از روشی است که بتوان نحوه رفتار توده سنگ در برگیرنده شفت را پیش‌بینی نموده و سیستم نگهداری مناسب را طراحی نمود (ضیائی و آهنگری ۱۳۸۹).

استفاده از روش‌های تجربی در شرایط زمین‌شناسی مشابه، به منظور پیش‌بینی رفتار توده سنگ و انتخاب سیستم نگهداری مورد نیاز بسیار مفید است. علاوه بر روش‌های تجربی، تحلیل عددی یکی از روش‌های بررسی و مطالعه تحلیل پایداری فضاهای زیرزمینی است.

در این زمینه محققین مختلف روش‌های متفاوتی در تحلیل عددی پایداری تونل‌ها و شفت‌های کار گرفته‌اند. کاندال و هارت‌سایر حفاری فضاهای زیرزمینی در محیط سنگی درزه‌دار را با استفاده از روش عددی بررسی کرده‌اند. نتایج این تحلیل نشان می‌دهد که عکس العمل مدل به خصوصیات ژئومکانیکی سطح و معیار رفتاری درزه وابسته است (Cundall & Hart 1993). جانسون و کولا با استفاده از روش‌های عددی المان محدود در فضای سه بعدی، پایداری یک فضای زیرزمینی را تحلیل و نتایج آن را با اندازه گیری تجربی مقایسه کرده‌اند (Johansson & Kula 1995). یوشیدا، هوری و اوونو، در تحلیل پایداری یک مغار زیرزمینی از روش‌های محیط پیوسته در توده‌سنگ درزه‌دار استفاده کرده‌اند (Yoshida, Hori & Uno 1995). بهاسین و هوگ با استفاده از مدل‌سازی عددی وضعیت پایداری تونل‌ها، با سیستم نگهداری و بدون سیستم نگهداری را بررسی کرده‌اند (Bhasin & Hoeg 1998). به منظور تحلیل پایداری یک مغار نیروگاه زیرزمینی در هند، داسگوپتا، شارما و ورمن (1999)، نتایج شبیه‌سازی عددی دو بعدی و سه بعدی را با اندازه گیری‌های صحراوی مقایسه کرده‌اند (Dasgupta, Sharma & Verman 1999). سیتارام و لاتا، در بررسی پایداری معدن فلزی و نیروگاه‌های زیرزمینی، فضای محیط‌های پیوسته را مدل‌سازی کرده‌اند (Sitharam & Latha 2002). فان، ژیائو و زائو برای بررسی وضعیت پایداری یک تونل در محیط سنگی

شکل پذیری زمین است.

### ۳- تعیین درصد ترخصی مناسب برای نصب سیستم نگهداری به وسیله تحلیلی

به منظور تعیین درصد ترخصی مناسب، منحنی واکنش زمین اطراف شفت و پروفیل تغییر شکل طولی آن رسم شده است. جهت رسم منحنی واکنش زمین، رفتار سنگ الاستیک- پلاستیک کامل فرض شده است که برای محاسبه جابجایی دیواره شفت در محدوده الاستیک از رابطه ۵ استفاده شده است

(Caranza-Torres & Fairhurst 1999 و ۱۳۸۶ فرخ)

$$u = \frac{(1+v)}{E} (\sigma_0 - p_i) \frac{R^2}{r} \quad (5)$$

برای تعیین قسمت پلاستیک منحنی GRC از قانون جریان استفاده می شود. طبق نظر اتكینسون در سال ۱۹۹۳ قانون جریان رابطه بین کرنش های اعوجاجی و عوامل به وجود آورنده تغییرات حجمی هنگام تغییرات پلاستیک در ماده می باشد (Atkinson 1993). برای محاسبه جابجایی دیواره شفت در محدوده پلاستیک رابطه ۶ استفاده شده است (Fahimifar & Soroush 2005; Caranza-Torres 2003; Caranza-Torres & Fairhurst 2001; Atkinson 1993)

$$\frac{u_r}{R} \frac{2G}{\sigma_0 - p_i^{cr}} = \frac{k_y - 1}{k_y + 1} + \frac{2}{k_y + 1} \left( \frac{R_{pl}}{R} \right)^{k_y + 1} + \frac{1 - 2v}{4(S_0 - P_i^{cr})} \left[ \ln \left( \frac{R_{pl}}{R} \right) \right]^2 - \left[ \frac{1 - 2v}{k_y + 1} \frac{\sqrt{P_i^{cr}}}{S_0 - P_i^{cr}} + \frac{1 - v}{2} \frac{k_y - 1}{(k_y + 1)^2} \frac{1}{S_0 - P_i^{cr}} \right] \times \left[ (k_y + 1) \ln \left( \frac{R_{pl}}{R} \right) - \frac{R_{pl}}{R} \right]^{k_y + 1} + 1 \quad (6)$$

برای ترسیم پروفیل تغییر شکل طولی از رابطه تجربی زیر که هوک در سال ۱۹۹۹ برای محاسبه جابجایی شعاعی در فاصله  $x$  از سینه کار ارائه داد، استفاده شده است (فرخ ۱۳۸۶ و Caranza-Torres & Fairhurst 2000).

$$\frac{u_r}{u_r^{\max}} = \left( 1 + \exp \left[ \frac{-x/R}{1.10} \right] \right)^{-1.7} \quad (7)$$

در رابطه های ۵ تا ۷،  $u_r^{\max}$  فشار یکنواخت میدان،  $P_i$  فشار داخلی مقیاس بندی شده،  $v$  ضریب پواسون،  $R$  فاصله از مرکز تونل،  $R$  شعاع تونل،  $S_0$  تنش اولیه مقیاس بندی شده،  $p_i$  فشار داخلی بحرانی مقیاس بندی شده،  $p_i$  فشار داخلی بحرانی،  $R_{pl}$  شعاع منطقه پلاستیک اطراف تونل،  $\theta$  زاویه اتساع،  $K$  ضریب اتساع،  $X$  فاصله از سینه کار،  $U_2$  جابجایی شعاعی،  $u_r^m$  حداکثر جابجایی شعاعی است.

در این مقاله ابتدا نسبت تنش افقی به قائم زمین اطراف شفت با توجه به روش های ثقلی، تجربی و مدل شوری برآورد شده است. در ادامه با استفاده از معیار هوک- براون منحنی واکنش زمین در برگیرنده شفت پنستاک و پایلوت آن، به روش تحلیلی و عددی رسم و سپس با رسم پروفیل تغییر شکل طولی زمین با روش های عددی و تحلیلی (هوک)، درصد ترخصی مناسب جهت حفر شفت و پایلوت آن محاسبه شده است. در ادامه طراحی پوشش شفت مورد بررسی قرار گرفته و تحلیل پایداری با روش های عددی و تجربی (RMR و Q) انجام شده است.

### ۴- تعیین نسبت تنش افقی به قائم

تنش های بر جایا به صورت مستقیم اندازه گیری می شوند یا با استفاده از روابطی تخمین زده می شوند. تعیین مقدار تنش های بر جایا به صورت مستقیم، آزمایش پر هزینه ای است. بنابراین اغلب از روش های تخمینی استفاده می شود. تنش بر جای افقی متوسط از طریق روش تقلی (Terzaghi & Richart 1952)، فرمول های تجربی حاصل از نتایج اندازه گیری تنش (Brady & Hoek 1978; Arjang 1998) و مدل شوری (Shear 1994) تخمین زده می شود.

بنابراین نسبت تنش افقی به قائم به صورت زیر تخمین زده شده است:

۱- با داشتن مقدار ضریب پواسون ( $v$ ) مقدار  $K$  به صورت رابطه ۱ محاسبه شده است (ترزاگی و ریچارد).

$$K = \frac{v}{1-v} \quad (1)$$

با استفاده از نتایج تجربی مقدار  $K$  توسط بریدی و هوک و ارزنگ به صورت رابطه ۲ و ۳ برآورد شده است.

نتایج اندازه گیری تنش حاصل از بعضی کشورها (Brady & Hoek 1978) :

$$0.3 + \frac{100}{Z} < K < 0.5 + \frac{1500}{Z} \quad (2)$$

نتایج اندازه گیری تنش حاصل از کشور کانادا به ویژه در سنگ های سخت (Arjang 1998) :

$$K = 5.13 Z^{-0.16} \quad (3)$$

۲- با استفاده از مدل نظری ارائه شده توسط شوری مقدار  $K$  از رابطه ۴ محاسبه شده است.

$$K = 0.25 + 7E(0.001 + \frac{1}{Z}) \quad (4)$$

که در این رابطه ها  $Z$  بیانگر عمق بر حسب متر و  $E$  مدول تغییر

مطابق جدول ۱ نسبت تنش افقی به قائم با استفاده از روش‌های ثقلی، تجربی و مدل شوری تخمین زده شده است. همان‌طور که در تصویر ۲ نشان داده شده است با آنالیز حساسیت و محاسبه مقادیر جابجایی برای نسبت تنش افقی به قائم  $0.7$  تا  $0.73$  بیشترین جابجایی در نسبت  $0.73$  رخ داده است.

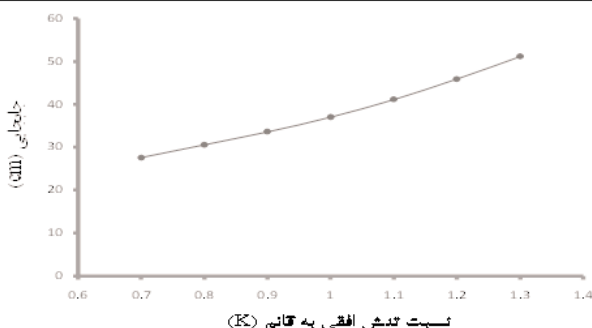
منحنی واکنش زمین و پروفیل تغییر شکل طولی برای شفت پنستاک و پایلوت آن در تصویرهای ۳ و ۴ نشان داده شده است. همان‌طور که در تصویر ۳ نشان داده شده، در فاصله  $2$  متری از سینه کاربرای پایلوت مقادار همگرایی برابر  $0.23$  سانتی‌متر است و بیشترین جابجایی با توجه به منحنی  $GRC$   $0.69$  سانتی‌متر می‌باشد. بنابراین در صد ترخیص تنش برای نصب سیستم نگهداری در پایلوت  $0.74$  درصد برآورد می‌شود. با توجه به تصویر ۴ مطابق آنچه در مورد پایلوت گفته شد، با توجه به طول گام حفاری شفت پنستاک که  $0.4$  متر در نظر گرفته شده است، ترخیص تنش  $0.61$  درصد بدست می‌آید.

## ۵-طبقه بندی آئومکانیکی توده سنگ (RMR) شفت پنستاک انتقال آب سد سردشت

طبقه بندی RMR بر اساس تجربیات حاصل از حفر تونل‌های بزرگ مقطع به روش چالزنی و انفجار بنا شده است. ترکیبات سامانه نگهداری آن شامل پیچ سنگ، شاتکریت، شبکه فلزی و برای دو طبقه سست تر سنگ، قاب‌های فولادی می‌باشد (صالح زاده ۱۳۸۸). بر اساس این طبقه بندی سیستم نگهداری مناسب در جدول ۲ برآورد شده است.

جدول ۱- نسبت تنش افقی به قائم تخمین زده شده با روش تقلی، فرمول‌های تجربی و مدل شوری

شوری	بریدی، هوک و ارزنگ		ترزاوی و ریچارد	روش
	برخی کشورها	کشور کانادا		
۰.۳	۲	۰.۸-۷	۰.۴	K



تصویر ۲- تغییرات جابجایی دیواره شفت نسبت به مقادیر مختلف نسبت تنش افقی به قائم

## ۶-موقعیت جغرافیایی و زمین‌شناسی تونل انتقال آب سد سردشت

طرح سد و نیروگاه سردشت در شمال غربی ایران و در جنوب غربی شهرستان سردشت از استان آذربایجان غربی در مختصات جغرافیایی  $36^{\circ} - 40^{\circ}$  طول شرقی و  $45^{\circ} - 33^{\circ}$  عرض شمالی بر روی رودخانه کلاس قرار گرفته است. سامانه انتقال آب این سد شامل شفت پنستاک قائم در تکیه گاه سمت چپ واقع شده است. دسترسی به سد از طریق جاده آسفالتی که از شهر سردشت آغاز می‌گردد و پس از پیمودن  $10$  کیلومتر جاده اختصاصی به ساختگاه سد سردشت می‌رسد. در تصویر ۱ موقعیت جغرافیایی طرح و راه‌های دسترسی به آن ارائه شده است. ساختگاه سد و سازه‌های مربوطه در پنهان گستره‌ای از ردیف روسوی کرتاسه قرار گرفته که دگرگونی ضعیفی را نیز پشت سرگذاشته است. ستبرای کل این نهشته‌ها که در یک محیط رسوی در حال فرونشست بر جای مانده‌اند بیش از  $1500$  متر برآورد شده است. این پنهان گستره که به لحاظ ترکیب سنگ شناختی اولیه از تناب و شیل و ماسه سنگ تشکیل شده بود تحت اثر دگرگونی دینامیکی به تناب و اسلیت و فیلیت تبدیل شده است، اما اثرات سنگ اولیه به فراوانی در سطح منطقه در رخمنون‌های سطحی و نیز مغره‌های حفاری به صورت ماسه سنگ هایی که بعضًا آثار دگرگونی خفیف در آن‌ها دیده می‌شود قابل تشخیص است (شرکت مهندسی مشاور سپاسد-فراب ۱۳۹۰).

## ۵- تعیین درصد ترخیص تنش و طراحی تمکیمات اولیه پایلوت و شفت پنستاک انتقال آب سد سردشت با استفاده از روش تحلیلی

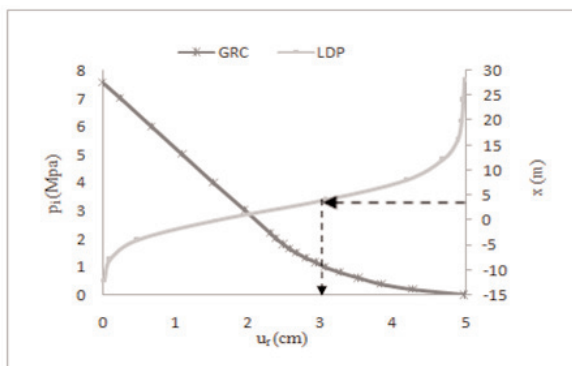
### ۵-۱- تعیین درصد ترخیص تنش پایلوت و شفت پنستاک



تصویر ۱- موقعیت جغرافیایی و راه‌های دسترسی به طرح سد سردشت (شرکت مهندسی مشاور سپاسد-فراب ۱۳۹۰)

ESR که در آن  $D_e$  بعد معادل (m)، Span قطر یا ارتفاع دهانه (m) و ضریب اهمیت حائل بوده و مقدار آن در شفت ها به مقطع و درجه ایمنی مورد نیاز از سیستم نگهداری نصب شده به منظور پایداری دیواره شفت بستگی دارد. بارتون و همکارانش برای تعیین این پارامتر در شفت ها، دو حالت را ارائه نمودند (Singh & Geol 2006): (۱) اگر مقطع چاه دایره ای باشد =  $\frac{2}{5}$  (۲) اگر مقطع چاه مربعی یا مستطیلی باشد = ۲.

با توجه به رابطه ۸ مقدار بعد معادل برای شفت پنستاک انتقال آب سد سردشت ۲/۶۴ بودست آمد. در نمودار ارائه شده توسط بارتون و همکارانش، برای بعد معادل  $D_e$  در مقابل  $Q$  عدد طبقه بندی سیستم نگهداری به دست می آید. مقادیر مربوط به پارامترهای طبقه بندی  $Q$  برای توده سنگ اسلیت و فیلیت در جدول ۳ بیان شده است. برای انتخاب سیستم نگهداری مناسب بر اساس پارامتر کیفی توده سنگ دیواره شفت ( $Q_w$ )، از نمودار تصویر ۵ که در سال ۱۹۹۳ توسط گریمستاد و بارتون تجدید نظر و اصلاح شده، استفاده می شود. در این نمودار برای نگهداری فضاهای زیرزمینی، شاتکریت مسلح به الیاف فولادی پیشنهاد شده است (Singh & Geol 2006). بنابراین سیستم نگهداری پیشنهادی این روش برای شفت در توده سنگ اسلیت و فیلیت شامل ۴ تا ۵ سانتیمتر شاتکریت مسلح و پیچ سنگ می باشد.

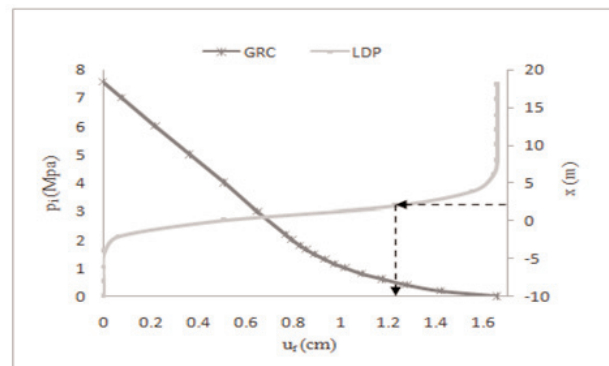


تصویر ۴- منحنی واکنش زمین و پروفیل تغییر شکل طولی شفت پنستاک انتقال آب سد سردشت با روش تحلیلی

## ۵-۳-طبقه بندی کیفی توده سنگ (Q) شفت پنستاک انتقال آب سد سردشت

در این روش پس از محاسبه مقدار امتیاز کیفی توده سنگ (Q)، برای تعیین سیستم نگهداری اولیه لازم است تا پارامتری به عنوان بعد معادل، از رابطه ۸ محاسبه شود و با مراجعه به نمودار بارتون، نوع سیستم نگهداری مورد نیاز مشخص شود (Singh & Goel 1999).

$$D_e = \frac{\text{Span}}{\text{ESR}} \quad (8)$$



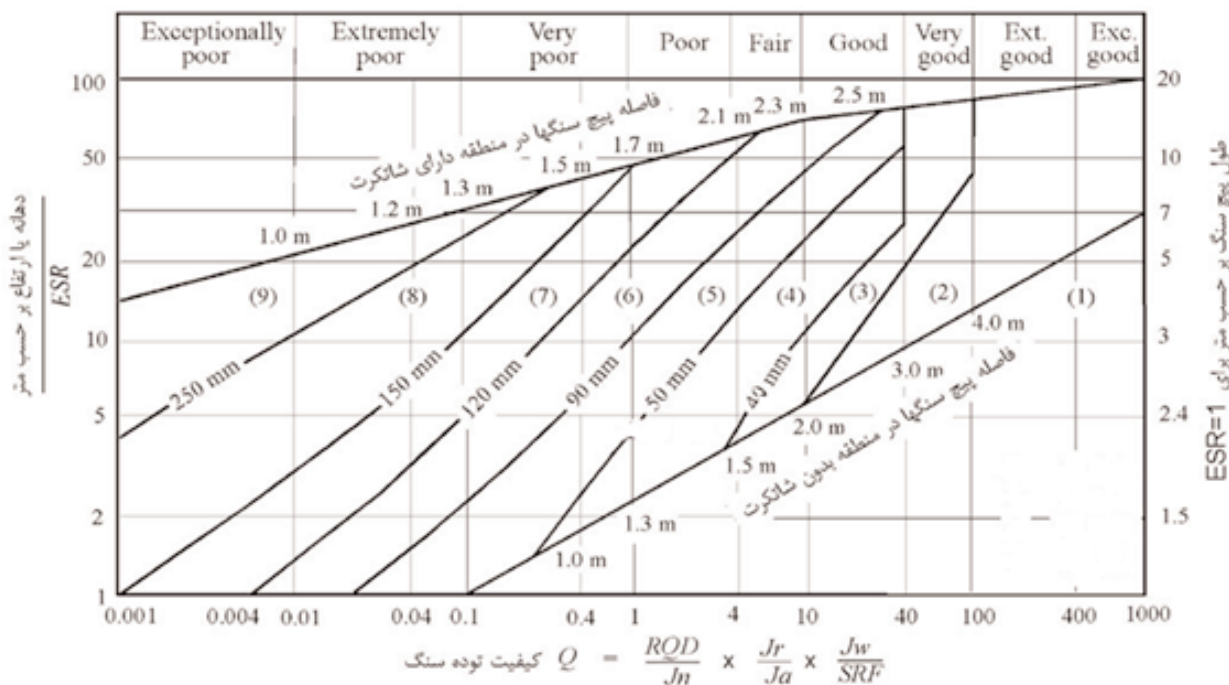
تصویر ۳- منحنی واکنش زمین و پروفیل تغییر شکل طولی پایلوت شفت پنستاک انتقال آب سد سردشت با روش تحلیلی

جدول ۲- نتایج حاصل از تحلیل پایداری شفت پنستاک با استفاده از طبقه بندی RMR

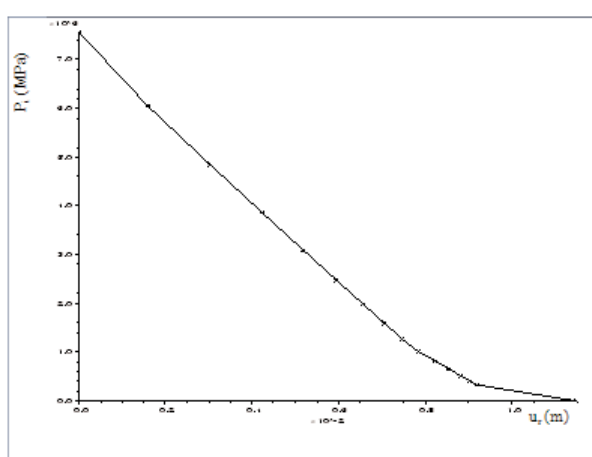
ارزیابی بر اساس RMR	۳۲-۴۲
کلاس توده سنگ	ضعیف
چسبندگی توده سنگ	۰/۱ مگاپاسکال
زاویه اصطکاک توده سنگ	۳۲ درجه
نحوه حفاری	۱ تا ۷/۵ متر پیشروی در مرحله اول، نصب نگهداری همزمان با حفاری ۱۰ متر از جبهه کار
راکبولت	بولت گذاری منظم به طول ۴ تا ۵ متر و فاصله ۱ تا ۷/۵ متر در تاجو دیواره ها با تور سیمی
نگهداری	۱۰۰ تا ۱۵۰ میلیمتر در تاج و ۱۰۰ میلیمتر در اطراف
شاتکریت	قاب های فولادی به فاصله ۷/۵ متر در مناطق ریزشی
قاب های فولادی	قابل های مشبك فولادی به فاصله ۷/۵ متر در مناطق ریزشی

جدول ۳- ردیف های مربوط به طبقه بندی Q و امتیازهای آن

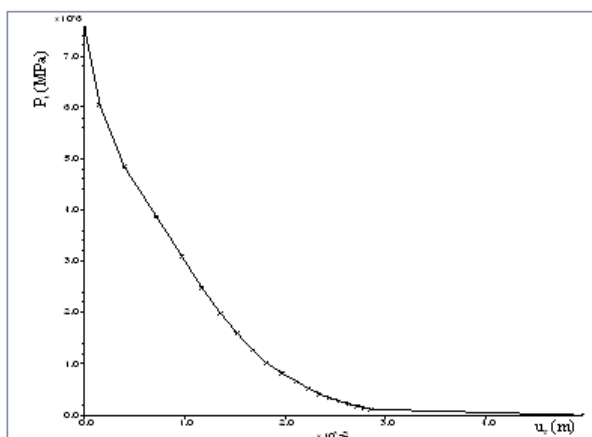
پارامترها	ضریب کیفیت سنگ	عدد مجتمعه درزه	عدد زبری درزه	عدد دگرگونی درزه	ضریب کاهش آب درزه	ضریب کاهش تنش	ضریب کیفیت توده سنگ	بعد معادل
نماد	RQD	J <sub>n</sub>	J <sub>r</sub>	J <sub>a</sub>	J <sub>w</sub>	SRF	Q	D <sub>e</sub>
اسلیت و فیلیت	۲۵	۶	۳	۳	۱	۲	۰/۸	۲/۶۴



تصویر ۵- تخمین نگهدارنده‌های مختلف با توجه به ضریب کیفیت توده سنگ (Q) غفوری و همکاران ۱۳۸۷



تصویر ۶- منحنی واکنش زمین برای شفت پایلوت با روش عددی



تصویر ۷- منحنی واکنش زمین برای شفت اصلی با روش عددی

#### ۴- تعیین درصد ترفیض تنش مناسب برای نصب سیستم نگهداری پایلوت و شفت پنستاک انتقال آب سد سردشت با روش عددی

جهت رسم نمودار GRC با روش عددی، مقدار جابجایی دیواره شفت پنستاک و پایلوت آن به ازای فشارهای داخلی مختلف ثبت شد. برای اطمینان از دقیقیت منحنی حاصله مدل عددی پایلوت برای ۱۵ فشار داخلی مختلف و مدل عددی شفت پنستاک برای ۲۰ فشار داخلی مختلف اجرا شده و نتایج آن به صورت گرافی رسم گردید که در واقع همان منحنی GRC است. این موضوع برای شفت پنستاک و پایلوت آن در تصویرهای ۶ و ۷ نشان داده شده است که محور x جابجایی دیواره شفت بر حسب متر و محور y فشار داخلی اعمال شده بر حسب مگاپاسکال می‌باشد.

برای رسم منحنی پروفیل تغییر شکل طولی زمین با روش عددی نقطه شاهدی در مدل در نظر گرفته شده و مدل در ۱۵ مرحله با گام‌های ۲ متری برای پایلوت و ۱۱ مرحله با گام‌های ۴ متری برای شفت پنستاک حفاری شده و تغییر شکل‌های شعاعی نقطه شاهد ثبت می‌گردد. منحنی‌های بدست آمده از روش عددی در تصویرهای ۶ و ۷ نشان داده شده است. با توجه به تصویرهای ۶ و ۷ حداقل جابجایی برای شفت ۴/۶ سانتیمتر و برای پایلوت آن برابر ۱/۱۵ سانتیمتر است. همان

تونل) استفاده می شود که در طی بررسی تونل های مختلف به دست آمده است. ساکورایی و همکارانش علاوه بر رابطه هایی که بین مقاومت فشاری تک محوری و کرنش بحرانی ارائه کرده اند، رابطه <sup>۹</sup> را نیز بین مدول تغییر شکل پذیری و کرنش بحرانی ارائه کرده اند <sup>II</sup>. (Sakurai 1999)

$$Log \varepsilon_c = -0.25 Log E - 1.22 \quad II \quad (9)$$

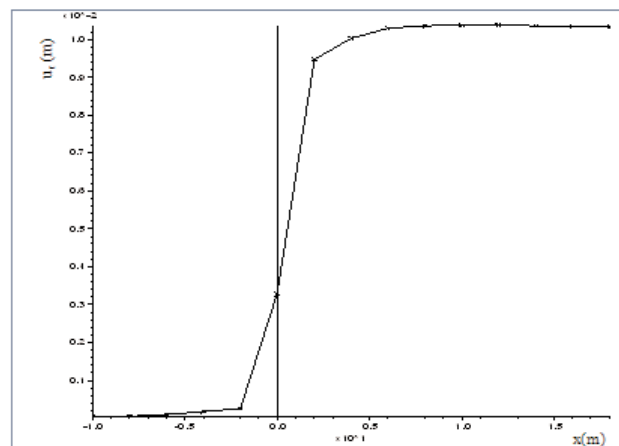
که در این رابطه،  $\varepsilon_c$  کرنش بحرانی در حالت مقاومت فشاری تک محوری E و مدول تغییر شکل پذیری توده سنگ بر حسب می باشد. لازم به ذکر است که یک  $Kg/cm^2$  برابر با  $10^3 Kgf/cm^2$  می باشد. به طور کلی توده سنگ اطراف تونل ها، در معرض تنفس سه محوره قرار دارد و معقول تر است که برای تحلیل پایداری مکانیکی از کرنش برشی ماکزیمم استفاده شود. در این حالت کرنش برشی بحرانی به عنوان مقدار مجاز استفاده می شود. ساکورایی و همکارانش در سال ۱۹۹۶ رابطه <sup>۱۰</sup> را برای محاسبه کرنش برشی بحرانی با استفاده از کرنش محوری پیشنهاد کردند (Arthe Civil & Structure 2006). آن ها تراز هشدار را به عنوان مبنای طراحی سیستم نگهداری تونل های مهندسی پیشنهاد نموده اند.

$$\gamma_c = (1 + v) \varepsilon_c \quad (10)$$

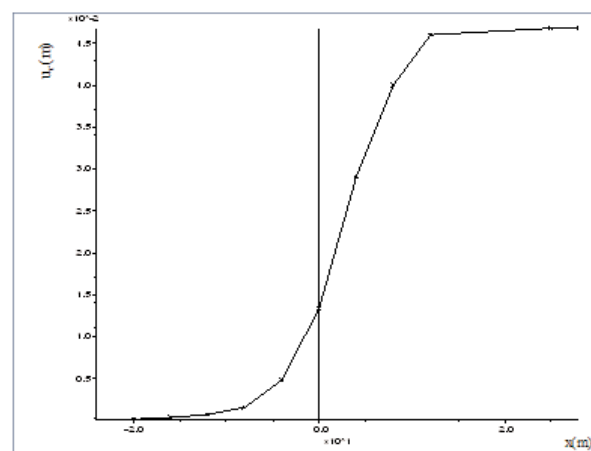
که در این رابطه  $v$  نسبت پواسون  $v$  و کرنش برشی بحرانی می باشد. برای ارزیابی پایداری، از مقدار لگاریتمی متوسط کرنش نرمال بحرانی برای تعیین کرنش برشی استفاده می شود. در صورتی که مقادیر کرنش برشی بزرگتر از مقدار بحرانی شود، حفاری تونل چهار مشکلاتی نظیر ناپایداری سینه کار و بالازدگی کف می شود. در این صورت باید تمهداتی برای نگهداری تونل در نظر گرفت (Arthe Civil & Structure 2006).

با جایگذاری مقادیر مدول الاستیسیته و نسبت پواسون در رابطه های ارائه شده می توان مقدارهای کرنش برشی بحرانی را در حالت سه محوری و حالت فشاری محصور نشده محاسبه کرد. بدین منظور از مقدار بیشینه مدول الاستیسیته استفاده شده است تا کمترین مقدار مجاز کرنش برشی و بحرانی ترین حالت به دست آید. میزان جابجایی مجاز (۱۱) توده سنگ اطراف شفت پنستاک و پایلوت آن با رابطه  $v$  محاسبه شده است.

$$u_r = \varepsilon_r \times R \quad (11)$$



تصویر ۸- منحنی پروفیل تغییر شکل طولی پایلوت شفت پنستاک



تصویر ۹- منحنی پروفیل تغییر شکل طولی شفت پنستاک

طور که در تصویرهای ۸ و ۹ نشان داده شده است، جابجایی تقریباً در فاصله هشت برابر شعاع شفت در پشت سینه کار به حداقل می رسد و در محل سینه کار حدود ۳۰ درصد مقدار ماکزیمم است.

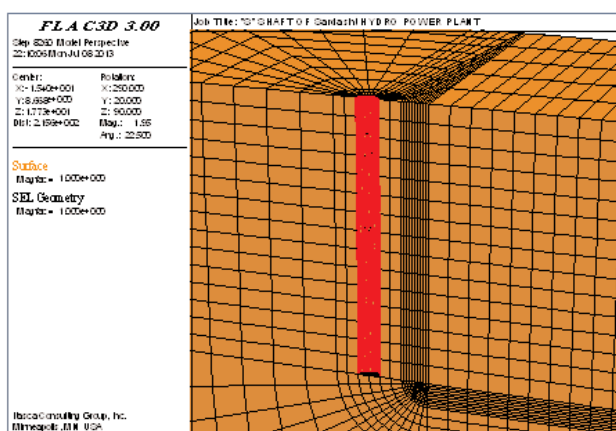
## ۷- گنبد پایداری با روش کرنش مجاہ

برای بررسی پایداری توده سنگ اطراف شفت بایستی مقدار تراز هشدار خطر برای توده سنگ تعیین و با پارامتر اندازه گیری شده مانند کرنش بحرانی، مقایسه گردد. اگر مقدار اندازه گیری شده از سطح هشدار خطر کمتر باشد، توده سنگ و سازه پایدار می باشد (ابوالقاسمی و لادریان ۱۳۹۰). ساکورایی در سال ۱۹۸۶ روشی برای ارزیابی پایداری سازه های زیرزمینی با توجه به کرنش بحرانی پیشنهاد کرده است که بر اساس نتایج آزمایش های فشاری تک محوری بر روی سنگ های مختلف تعریف می شود. این روش اغلب به عنوان روشی استاندارد برای محاسبه همگرایی (جابجایی نسبی دیواره های

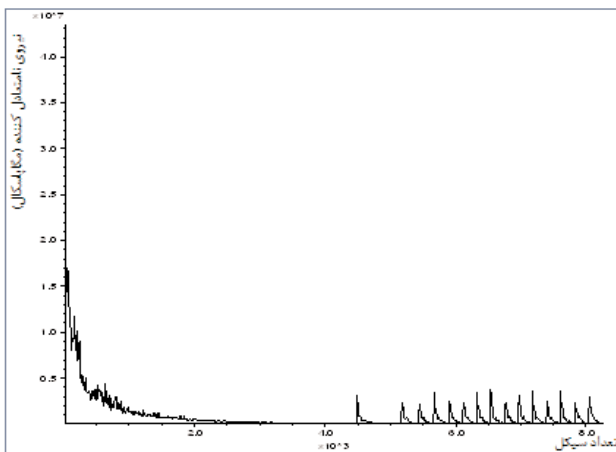
پس از حفر هر مرحله عملیات تحکیم با استفاده از شاتکریت به ضخامت ۵ سانتیمتر، با مدول الاستیسیته ۲۰ گیگاپاسکال و ضریب پواسون ۰/۲۲ صورت گرفته که در تصویر ۱۰ نشان داده شده است.

بنابراین عملیات حفاری و بلا فاصله تحکیم پایلوت در ۱۵ مرحله انجام شده است. همان طور که در تصویر ۱۱ نشان داده شده، مدل پایلوت بعد از عملیات حفر و تحکیم به تعادل رسیده است. مقادیر جابجایی کلی قبل و بعد از تحکیم هر مرحله در جدول ۵ برای نسبت تنش افقی به قائم ۰/۷ و ۰/۷۳ ارائه شده است.

پس از حفر پایلوت به منظور تعریض شفت عملیات حفاری بر اساس قطر آن، با گام حفاری به طول ۴ متر و درصد ترخیص ۶۱٪ انجام شده



تصویر ۱۰- حفر و تحکیم شفت پایلوت پس از ۱۵ مرحله



تصویر ۱۱- نمودار تاریخچه نیروهای نامتعادل پس از ۱۵ مرحله حفر و تحکیم

شفت پایلوت

جدول ۴- نتایج بدست آمده از نرم افزار در توده سنگ در برگیرنده پایلوت شفت پنستاک سامانه انتقال آب سد سردشت و مقایسه آن با مقادیر حاصل از روش ساکورایی ( $K = 1/3$ )

نوع سنگ	کرنش بحرانی	کرنش برشی مجاز	کرنش برشی شفت پایلوت در مدل	جابجایی شفت پایلوت در مدل (mm) FLAC <sup>3D</sup>	جابجایی مجاز شفت پایلوت در مدل (mm)
سنگ دگرگونی	$6/0\cdot 25 \times 10^{-3}$	$7/8\cdot 33 \times 10^{-3}$	$9/8\cdot 00 \times 10^{-3}$	۶/۶۴۶	۶/۶۲۸

## ۸- تحلیل پایداری و طراحی سیستم نگهداری دائمی پایلوت و شفت پنستاک انتقال آب سد سردشت با استفاده از روش عددی

### ۱-۸- مفهوم پایلوت و شفت پنستاک

حفاری شفت‌ها خصوصاً بخش پایلوت از مشکل تربینوپر هزینه‌ترین عملیات حفاری در پروژه‌های عمرانی محسوب می‌شود. قطر پایلوت تا حد زیادی تحت تأثیر قطر شفت اصلی و روش اجرای پایلوت می‌باشد. بنابراین قطر پایلوت بایستی به گونه‌ای انتخاب شود که پس از اجرای آن، فضای کافی برای فعالیت یک وسیله مکانیزه (بیل مکانیکی) برای تخلیه باقی بماند. از طرف دیگر اگر قطر پایلوت از حد معینی کمتر باشد احتمال گیر کردن مصالح در زمان تخلیه درون آن بالا می‌رود که این امر به نوبه خود حائز اهمیت است، زیرا ابعاد بزرگترین قطعات حاصل از انفجار درون شفت معمولاً در حدود ۶۰ سانتیمتر است و اگر بخواهیم ابعاد بزرگترین قطعه، از این مقدار کمتر باشد لازم می‌شود که تعداد چال‌ها افزایش یابد. این امر به منزله افزایش هزینه و زمان چالزنی می‌باشد. در زمین‌های خاکی که چسبندگی آنها کم است، زمان خود ایستایی بسیار پایین است و خاک با حفر شفت ریزش می‌کند. چنانچه فضای حفر شده پایدار نباشد، نیاز به نصب سیستم نگهداری می‌باشد (Gillette 1999).

در این تحقیق با استفاده از فرآیند تحلیل سلسله مراتبی AHP، برای حفاری شفت پنستاک و پایلوت آن روش سنتی انتخاب شد که در این روش حفاری از بالا به پایین انجام می‌شود (پیرمرادیان و همکاران ۱۳۹۱). قطر پایلوت برابر ۲/۲ متر و در نتیجه طول گام حفاری ۲ متر در نظر گرفته شده است. با توجه به طول گام حفاری و درصد ترخیص تنش ۷۴ درصد پس از حفر هر مرحله جهت اطمینان از پایداری، طبق جدول ۴ مقادیر جابجایی با مقدار جابجایی مجاز محاسبه شده از روش ساکورایی مقایسه شده است. همان طور که از این جدول ملاحظه می‌شود بالاتر بودن مقادیر جابجایی نسبت به مقدار مجاز نایداری پایلوت را نشان می‌دهد.

جدول ۵- مقادیر جابجایی کلی قبل و بعد از تحکیم پایلوت برای نسبت تنش افقی به قائم (۰/۷ و ۱/۳)

جابجایی کلی (mm)						مرحله حفاری	
K=۱/۳		K=۱		K=۰/۷			
بعد از تحکیم	قبل از تحکیم	بعد از تحکیم	قبل از تحکیم	بعد از تحکیم	قبل از تحکیم		
۲/۴۱	۱۲/۲۴	۴/۶۳	۸/۸۲	۴/۸۷	۷/۵۳	۱	
۳/۹۲	۶/۱۸	۳/۲۱	۵/۵۳	۳/۰۸	۵/۲۴	۲	
۳/۷۹	۶/۱۶	۲/۸۳	۵/۰۰	۲/۰۰	۵/۰۱	۳	
۳/۷۸	۶/۱۷	۲/۸۲	۵/۸۵	۳/۲۸	۵/۶۱	۴	
۳/۷۴	۶/۱۹	۲/۸۱	۵/۹۱	۱/۹۷	۵/۶۸	۵	
۳/۶۵	۶/۲۳	۳/۴۴	۵/۹۷	۱/۹۸	۵/۷۲	۶	
۳/۷۶	۶/۲۷	۳/۴۷	۶/۰۲	۲/۰۱	۵/۷۷	۷	
۳/۷۴	۶/۳۰	۲/۸۶	۶/۰۶	۱/۹۹	۵/۸۲	۸	
۳/۶۵	۶/۳۴	۲/۸۵	۶/۱۱	۲/۰۱	۵/۸۶	۹	
۳/۶۷	۶/۳۷	۲/۸۷	۶/۸۵	۲/۰۰	۵/۹۱	۱۰	
۳/۷۳	۶/۴۱	۲/۸۱	۶/۱۹	۲/۰۱	۵/۹۵	۱۱	
۳/۶۳	۶/۴۵	۲/۸۵	۶/۲۳	۲/۰۴	۶/۰۰	۱۲	
۳/۶۳	۶/۴۹	۲/۸۱	۶/۲۸	۲/۰۰	۶/۰۴	۱۳	
۳/۶۲	۶/۵۱	۳/۶۰	۶/۲۷	۲/۰۳	۶/۰۲	۱۴	
۳/۶۹	۵/۱۶	۲/۸۳	۴/۰۷	۲/۶۰	۳/۴۹	۱۵	

جدول ۶-نتایج بدست آمده از نرم افزار در توده سنگ در برگیرنده شفت پستاک سامانه انتقال آب سد سردشت و مقایسه آن با مقادیر حاصل از روش ساکورایی

(K=۱/۳)

نوع سنگ	کرنش بحرانی	کرنش برشی مجاز	کرنش برشی مجاز شفت پستاک در مدل FLAC <sup>3D</sup>	کرنش برشی شفت پستاک در مدل FLAC <sup>3D</sup>	جابجایی مجاز شفت پستاک	جابجایی شفت پستاک در مدل (mm)FLAC <sup>3D</sup>
سنگ دگرگونی	۶/۰۲۵×۱۰ <sup>-۳</sup>	۷/۸۳۳×۱۰ <sup>-۳</sup>	۵/۸۶۷۰۰×۱۰ <sup>-۳</sup>	۱۹/۸۸۴	۶۴/۲۲۸	

جدول ۷- مشخصات پوشش بتی و فلزی شفت پستاک انتقال آب سد سردشت

است. طبق جدول ۶ مقدار جابجایی با مقدار جابجایی مجاز محاسبه شده از روش ساکورایی مقایسه شده است که بالاتر بودن آن نسبت به مقدار مجاز ناپایداری شفت پستاک را نشان می دهد.

ضخامت (Cm)	ضریب پواسون	مدول یانگ (GPa)	مصالح
۱/۹۷	۰/۲	۲۰	گراول و ملات
۱/۰۸	۰/۲۲	۲۵	بتن درجا
۲/۳	۰/۳	۲۰۰	فولاد

## ۴-۸- اعمال پوشش بتی و فلزی و بهینه سازی ضخامت

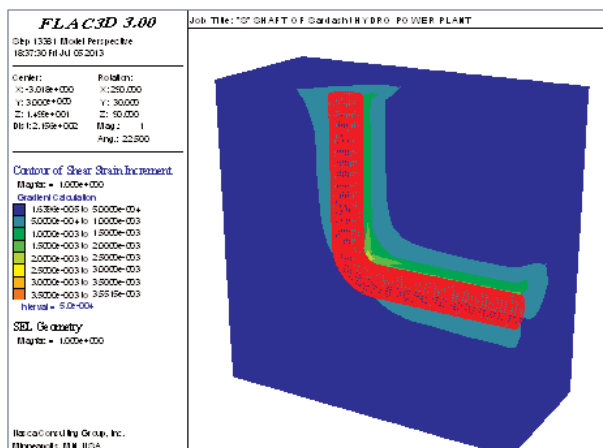
### پوشش

شود. بنابراین پوشش بتی و فلزی با مشخصات ارائه شده در جدول ۷ پس از اتمام عملیات حفاری شفت، زانویی و تونل جهت بررسی تأثیر زانویی و تونل بر ضخامت پوشش بتی و فلزی آن به صورت یکباره نصب می شود.

با توجه به استانداردهای A516-70ASTM مقدار ضخامت ورق پوشش فولادی دارای رنج ۰/۵ تا ۱ اینچ می باشد که معادل با ۱۲/۷ الی ۲۵/۴ میلیمتر است. بنابراین می توان گفت که مقدار ضخامت محاسبه

از آن جا که شفت پستاک انتقال آب سد سردشت از درون توده سنگ های ضعیف و گسل خورده عبور می نماید باید از پوشش بتی مسلح استفاده نمود و از طرف دیگر چون میزان تنش های بر جای منطقه به دلیل نبود روباره در مقطع تلاقی با دره ورچک و نیز کمبود روباره در طرفین محل تلاقی، پایین تر از فشار آب داخلی شفت است، جهت جلوگیری از پدیده هیدرو جکینگ باید از یک پوشش فلزی بدون تقویت کننده (ضد آب) برای پایداری درازمدت استفاده

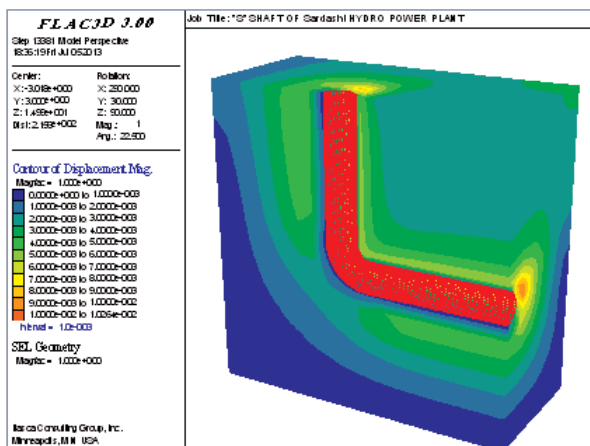
نتایج تحلیل ها برای ضخامت ۱۲ میلیمتر فولاد در نسبت های تشنه افقی به قائم ۱/۰/۷ و ۱/۰/۳ در جدول ۹ ارائه شده و در تصویر ۱۳ کنتورهای جابجایی قبل و بعد از اعمال سیستم نگهداری برای پوشش فلزی با ضخامت ۱۲ میلیمتر نشان داده شده است.



تصویر ۱۲- مقدار کرنش برشی بعد از اعمال نگهداری

جدول ۸- مقادیر جابجایی بدست آمده بعد از اعمال نگهداری برای ضخامت های مختلف فولاد و بتُن برای نسبت تشنه افقی به قائم ۱/۰/۳

Z درجهت	مقدار جابجایی بعد از نگهداری (mm)					ضخامت بتُن (Cm)	ضخامت فولاد (mm)		
	درجهت y		درجهت x		کلی				
	دیواره چپ شفت	دیواره راست شفت	کف تونل	سقف تونل					
-۱۳/۱۰	-۶/۲۶	۷/۱۰	-۲/۷۰	۴/۵۴	۱۳/۲۶	۱۰/۹/۱	۱۲		
-۱۷/۸۵	-۶/۱۷	۷/۰۶	-۲/۴۶	۴/۵۸	۱۷/۹۴	۱۰/۸/۸	۱۵		
-۱۰/۷۱	-۶/۰۹	۷/۰۴	-۲/۲۷	۴/۶۱	۱۷۳۰	۱۰/۸/۵	۱۸		
-۱۰/۲۰	-۶/۰۵	۷/۰۲	-۲/۱۶	۴/۶۱	۱۷۱۰	۱۰/۸/۳	۲۰		
-۹/۹۴	-۵/۹۹	۷/۰۱	-۲/۰۳	۴/۶۳	۱۰/۸/۳	۱۰/۸	۲۳		

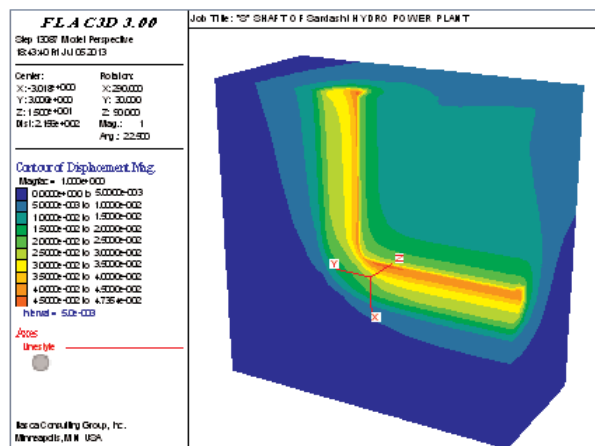


(ب)

شده برای پوشش فلزی و در نتیجه ضخامت پوشش بتُنی مقداری منطقی است. جهت بهینه سازی ضخامت فولاد و بتُن، ابتدا مقدار جابجایی های کلی و همچنین جابجایی ها در راستای x، z و y بعد از نصب نگهداری تعیین شده است. سپس برای ضخامت های ۱۲ تا ۲۳ میلیمتر فولاد و (۱۰/۸ - ۱۰/۹/۱) سانتیمتر بتُن) مقدار جابجایی بعد از اعمال نگهداری تعیین شده است. این مقادیر که در جدول ۸ ارائه شده با مقدار جابجایی مجاز بدست آمده از رابطه ی ساکورایی مقایسه شده است.

بر اساس تحلیل های صورت گرفته نزدیکترین جابجایی به مقدار جابجایی مجاز در ضخامت ۱۲ میلیمتر فولاد و ۱۰/۹/۱ سانتیمتر بتُن بدست آمد که در این حالت کرنش بدست آمده همان طور که در تصویر ۱۲ نشان داده شده بیشترین نزدیکی را به مقدار کرنش مجاز بدست آمده از رابطه ی ساکورایی دارد.

تصویر ۱۲- مقدار کرنش برشی بعد از اعمال نگهداری



(الف)

تصویر ۱۳- کنتور جابجایی (الف) قبل و (ب) بعد از اعمال سیستم نگهداری

جدول ۹- بیشترین جابجایی قبل و بعد از اعمال نگهداری برای ضخامت ۱۲ میلیمتر فولا در نسبت های تنش افقی به قائم (۱۰/۷ و ۱۳/۱)

درجهت Z	بعد از نگهداری						درجهت کلی Z	قبل از نگهداری						(K) کلی		
	درجهت y			درجهت x				درجهت y			درجهت x					
	دیواره راست	دیواره چپ شفت	سقف توپل	کف توپل	دیواره راست	دیواره چپ شفت		سقف توپل	کف توپل	دیواره راست	دیواره چپ شفت	سقف توپل	کف توپل			
-۰/۶۲	-۰/۸۳	۰/۳۴	-۰/۵۷	۰/۷۰	۰/۷۰	-۳/۱۱	-۲/۰۵	۳/۶۴	-۲/۱۹	۴/۱۶	۴/۷۸	۰/۷				
-۷/۰۲	-۰/۴۷	۰/۵۱	-۰/۴۲	۵/۸۳	۱/۰۳	-۴/۲۸	-۲/۹۸	۴/۲۲	-۲/۵۱	۴/۱۳	۴/۷۴	۱				
-۷/۳۱	-۰/۶۳	۰/۷۱	۰/۲۷	۰/۴۶	۷/۲۳	-۶/۱۴	-۳/۹۴	۵/۵۶	-۲/۲۸	۵/۱۵	۶/۴۲	۷۳				

بدون تقویت کننده (ضد آب) برای پایداری درازمدت استفاده شود.

نسبت تنش افقی به قائم با روابط مختلف محاسبه شد و با توجه به آنالیز حساسیت برای مقادیر ۷/۰ الی ۷/۳ بیشترین مقدار جابجایی در نسبت تنش افقی به قائم ۷/۳ نشان داده شد.

برای تعیین ضخامت بهینه پوشش، ابتدا با روش تحلیلی ضخامت پوشش فلزی و بتنی تعیین شد. سپس با اعمال پوشش در مدل و تعیین مقادیر جابجایی برای ضخامت های ۱۲ تا ۲۳ میلیمتر پوشش فلزی، نزدیکترین مقدار جابجایی به جابجایی مجاز روش ساکورایی برای ضخامت ۱۲ میلیمتر نشان داده شد. در نتیجه ضخامت های بهینه ۱۲ میلیمتر و ۱۰/۹۱ سانتیمتر به ترتیب برای پوشش فلزی و بتنی انتخاب شد که در هر سه نسبت تنش افقی به قائم ۱۰/۷ و ۷/۳ پایدار است.

## مراجع

ابوالقاسمی، ع، و لادریان، ا، ۱۳۹۰. طراحی مجدد سیستم نگهداری و تحلیل پایداری ناحیه یک توپل نقره کمر به روش عددی تفاضل محدود (نرم افزار FLAC<sup>3D</sup>). نخستین همایش آسیایی و نهمین همایش ملی توپل، ۱۰-۱۲ آبان ماه پیرمرادیان، ح، بیرانوند، پ، طایی، س، بخشنده، ح، و پیروی نسب، پ، ۱۳۹۱. انتخاب روش حفاری شفت تخلیه کننده تحتانی توپل های انحراف آب سد سردشت با استفاده از فرآیند سلسله مراتبی (AHP). مجموعه مقالات کنگره و نمایشگاه بین المللی معدن، تهران، ایران، ۵-۸ آبان ماه شرکت مهندسی مشاور سپاسد- فراب، ۱۳۹۰. گزارش زمین شناسی مهندسی مطالعات مرحله دوم، تهران، خرداد ماه.

صالح زاده، ح، ۱۳۸۸. طراحی و مهندسی توپل و شفت در سنگ. انتشارات قرار گاه سازندگی خاتم الانبیاء- قرب نوح (ع)، چاپ اول

ضیائی، ا، و آهنگری ک، ۱۳۸۹. تحلیل پایداری چاه انتقال آب سد صفا با مقایسه نتایج حاصل از روش های عددی (FLAC<sup>2D</sup> و FLAC<sup>3D</sup>) و تجربی. مجموعه مقالات کنگره بین المللی معدن، ۲۶ مهر ماه

● به دلیل اینکه حفاری شفت ها خصوصاً بخش پایلوت از مشکل ترین و پرهزینه ترین عملیات حفاری در پروژه های عمرانی محسوب می شود لازم است درخصوص انتخاب روش حفاری بررسی کافی صورت پذیرد. بنابراین با استفاده از فرآیند تحلیل سلسله مراتبی AHP، برای حفاری شفت پنستاک و پایلوت روش سنتی انتخاب شد که در این روش حفاری از بالا به پایین انجام می شود.

● قطر پایلوت تا حد زیادی تحت تأثیر قطر شفت اصلی و روش اجرای پایلوت می باشد و بایستی به گونه ای انتخاب شود که پس از اجرای آن، فضای کافی برای فعالیت وسیله مکانیزه (بیل مکانیکی) برای تخلیه باقی بماند. از طرف دیگر اگر قطر پایلوت از حد معینی کمتر باشد احتمال گیر کردن مصالح در زمان تخلیه درون آن بالا می رود که این امر نیز به نوبه خود حائز اهمیت است، زیرا ابعاد بزرگترین قطعات حاصل از انفجار درون شفت معمولاً در حدود ۶ سانتیمتر است. اگر ابعاد بزرگترین قطعه، از این مقدار کمتر باشد لازم می شود که تعداد چال ها افزایش یابد. این امر به منزله افزایش هزینه و زمان چالزنی می باشد. بنابر این قطر پایلوت برابر ۷/۲ متر و در نتیجه طول گام حفاری برابر ۲ متر در نظر گرفته شده است.

● با توجه به اینکه شفت پنستاک انتقال آب سد سردشت از درون توده سنگ های ضعیف و گسل خورده عبور می نماید. باید از پوشش بتنی مسلح استفاده نمود و از طرف دیگر چون میزان تنش های بر جای منطقه به دلیل نبود روباره در مقطع تلاقي با دره و رچک و نیز کمبود روباره در طرفین محل تلاقي، پایین تر از فشار آب داخلی شفت است، جهت جلوگیری از پدیده هیدروجکینگ باید از پوشش فلزی

## ۹- تئیمه‌گیری

- masses using discrete element method. *Computers and Geotechnics*, pp. 57-66.
- Gillette, H. P., 1999.** Rock Excavation Handbook. *Sandvik Tamrock corp*, pp. 281-288.
- Hartman, H. L., 1992.** SME Mining Engineering Handbook. Society for Mining Metallurgy, and Exploration, Inc. *Littleton, Colorado, 2nd Edition, V. I.*
- Hao, Y. H., & Azzam, R., 2005.** The plastic zones and displacements around underground openings in rock masses containing a fault. *Tunnelling and Underground Space Technology*, Vol. 20, pp. 49-61.
- Hoek, E., Carranza-Torres, C., & Corkum, B., 2002.** Hoek-Brown Failure Criterion. Proc. NARMS-TAC Conference, *Toronto*, pp. 267-273.
- Jiao, Y. Y., Fan, S. C., & Zhao, J., 2005.** Numerical investigation of joint effect on shock wave propagation in jointed rock masses. *Journal of Testing and Evaluation*, pp. 197-203.
- Johansson, E. J., & Kula, H., 1995.** Three-dimensional back-analysis calculations of Vikingmaki underground sewage treatment plant in Helsinki. *Proceedings of the 8th International Conference on Rock Mechanics*, pp. 597-600.
- Sakurai, S., 1999.** Lessons Learned from Field Measurements in Tunnelling. *Tunnelling and Underground Space Technology*, Vol. 12, pp. 453-460.
- Sheory, P. R., 1994.** A theory for in Situ Stresses in Isotropic and Transversely Isotropic Rock. *International Journal of Rock Mechanics and Mining Sciences & Geomechanics Abstracts*, Vol. 31, pp. 23 -34.
- Singh, B., & Goel, R. K., 1999.** Rock Mass Classification. *Elsevier Science Ltd.*
- Singh, B., & Geol, R. K., 2006.** Tunnelling in Weak Rocks. *Elsevier Geo-Engineering Book Series: V. 5, First Edition*, pp. 355-363.
- Sinha, R., 1989.** Underground Structures Design and Instrumentation. *Elsevier*.
- Sitharam, T. G., & Latha, G. M., 2002.** Simulation of excavations in jointed rock mass using a practical equivalent continuum approach. *International Journal of Rock Mechanics and Mining Science*, pp. 517-525.
- Terzaghi, K., & Richart, F. E., 1952.** Stress in Rock About Cavities. *Geotechnique*, Vol. 3, pp. 57-90.
- United States, Army Corps of Engineers., 1997.** Tunnels and Shafts in Rock. *Washington DC: EM 1110-2-2901*.
- Xia, Y., Peng, S., & Gu, Z., 2007. Stability analysis of an underground power cavern in a bedded rock formation. *Tunnelling and Underground Space Technology*, Vol. 22, pp. 161-165.
- Yoshida, H., Hori, H., & Uno, H., 1995.** Micromechanics-based continuum theory for jointed rock mass and analysis of large-scale cavern excavation. *Proceedings of the 8th International Conference on Rock Mechanics*, pp. 689-692.
- فرخ، ا. ۱۳۸۶. طراحی قطعات بتی پیش ساخته. انتشارات جهاد دانشگاهی صنعتی امیر کبیر، چاپاول، تهران
- قاسم زاده، ح، و عبادی، م.ح، ۱۳۸۸. اندرکنش بین سنگ و پوشش در تونل ها و شفت های تحت فشار. مجموعه مقالات هشتمین کنفرانس تونل، ۲۹-۳۱ اردیبهشت ماه
- Arjang, B., 1998.** Canadian Crustal Stresses and Their Application in Mine Design. *International Symposium of Mine Planning and Equipment Selection (MPES, 98) Calgary, October.*
- Arthe Civil & Structure B. V., 2006.** Design and calculation of concrete segments. *Report No.: ACS05203-R09-S04 & ACS05203-R09-S05*, pp.57.
- Atkinson, J., 1993.** An introduction to the mechanics of soils and foundations. *Mc Graw - Hill Book Company*.
- Bhasin, R., & Hoeg, K., 1998.** Parametric study for a large cavern in jointed rock using a distinct element model (UDEC-BB). *International Journal Rock Mechanics and Mining Science* 35, no. 1, pp. 17-29.
- Brady, E. T.,& Hoek, E., 1978.** Trends in Relationships Between Measured Rock In Situ Stresses and Depth. *International Journal of Rock Mechanics, Mining Science and Geomechanics abstract*, Vol. 15, pp. 211-215..
- Carranza-Torres, C., & Fairhurst, C., 1999.** The elasto-plastic response of underground excavations in rock masses that satisfy the Hoek-Brown failure criterion. *International Journal of Rock Mechanics and Mining Sciences* , Vol. 36, pp.777-809.
- Carranza-Torres, C., & Fairhurst, C., 2000.** Analysis of tunnel suport requirements using the convergence-confinement method the Hoek-Brown rock failure criterion. *Tunnelling and Underground Space Technology*.
- Carranza-Torres, C., & Fairhurst, C., 2001.** Analysis of tunnel support requirements using the convergence -confinement method and the Hoek-Brown rock failure criterio. *Proceedings of the International Conference on Geotechnical and Geological Engineering* ,pp. 65-75.
- Carranza-Torres, C., 2003.** Elasto-Plastic solution of tunnel problems using the generalized form of the Hoek-Brown failure critrion. *Itasca Consulting Group Inc .*
- Cai, M., 2008.** Influence of stress path on tunnel excavation response - Numerical tool selection and modeling strategy. *Tunnelling and Underground Space*.
- Cundall, P. A., & Hart, R. D., 1993.** Numerical modelling of discontinua. *Comprehensive Rock Engineering*, (Pergamon) 2, pp. 231-243.
- Dasgupta, B., Sharma, M. K., & Verman, A., 1999.** Design of underground caverns for Tehri Hydropower Project, India by numerical modeling. *Proceedings of the 9th International Conference on Rock Mechanics*, pp. 357-35.
- Fahimifar, A., & Soroush, H., 2005.** A theoretical approach for analysis of the interaction between grouted rockbolts and rock masses. *Tunnelling and Underground Space Technology*, Vol.20,pp. 333-343.
- Fan, S. C., Jiao, Y. Y., & Zhao, J., 2004.** On modeling of incident boundary for wave propagation in jointed rock